

## **ВЗАИМОДЕЙСТВИЕ НА ЛЪЧЕНИЕТО С ВЕЩЕСТВОТО**

## **ВЗАИМОДЕЙСТВИЕ НА ГАМА-КВАНТИ С ВЕЩЕСТВОТО**

### **I. ОБЩА ХАРАКТЕРИСТИКА НА ГАМА-ИЗЛЪЧВАНЕТО**

Гама-квантите са електромагнитно лъчение (като светлината) с много малка (къса) дължина на вълната  $E_\gamma = h\omega$ . Ядрените  $\gamma$ -кванти, които ще коментираме, се излъчват при **преходи между възбудените състояния на ядрото**:

$$\begin{array}{ccc} \text{---} & E_i \\ \downarrow \gamma & \\ \text{---} & E_f \end{array} \quad E_\gamma = E_i - E_f$$

В този смисъл те нямат нищо общо с излъчването на рентгенови и оптични кванти, което е чисто атомен процес, засягащ електронната обвивка на атома.

**Енергии** на  $\gamma$ -квантите: от 10 keV до 5 MeV

**Дължини на вълните:**  $10^{-8} \geq \lambda_\gamma \geq 2 \cdot 10^{-11}$  см

Размера на атома  $\geq \lambda_\gamma \geq 100$  размера на ядрото (дълговълново приближение)

$1 \text{ eV} = 12,4 \cdot 10^{-5} \text{ см}$ ;  $1 \text{ eV} = 2,4 \cdot 10^{14} \text{ s}^{-1}$

Гама-квантите носят **импулс**

$$\vec{p} = \frac{E_\gamma}{c}$$

**и момент на количество на движение I**

**I = 1** - диполно излъчване

**I = 2** - квадруполно излъчване

**I = 3** - октуполно излъчване и т.н.

**I = 0** - (монополно излъчване) - **абсолютно забранено**, поради напречния характер на електромагнитните вълни. Векторите **E** и **H** са перпендикулярни на посоката на разпространение.

**Собствения момент на  $\gamma$ -кванта = 1 (бозони)**

Фактически поради наличието на импулс у  $\gamma$ -кванта, енергията на ядрения преход ( $E_i - E_f$ ) се разпределя между кванта и излъчващото ядро.

От  $|P_\gamma| = |P_y|$  следва

$$E_y = \frac{E_\gamma^2}{2Mc^2}$$

или

$$\frac{E_y}{E_\gamma} = \frac{E_\gamma}{2Mc^2}$$

като  $E_\gamma = E_i - E_f - E_y$  ( $E_y$  - енергия на откат);  $E_y/E_\gamma \sim 10^{-6}$ .

Енергията на откат е нищожна в сравнение с енергията на прехода (и се пренебрегва в ядрената спектроскопия), но като правило е по-голяма от естествената ширина на  $\gamma$ -линията и за това при обикновени условия (свободни ядра) не се наблюдава резонансно поглъщане на  $\gamma$ -кванти. Това се избягва при ефекта на Мъосбауер, който е също взаимодействие на  $\gamma$ -кванти с веществото.

## II. ФОТОЕФЕКТ

Гама-квантите не могат да бъдат регистрирани непосредствено, а само чрез заредени частици (вторични), които се получават при взаимодействието им с веществото (в случая детектора). **Фотоефекта** е процес, при който  $\gamma$ -кванта се поглъща (изчезва), като предава цялата енергия на някой от орбиталните електрони на атома.

### A. Кинетична енергия на фотоелектрона

Тя е  $T_e = E_\gamma - E_i$ , където  $E_i$  е енергията на връзка на атомния електрон от  $i$ -тия слой - K, L<sub>I</sub>, L<sub>II</sub>, L<sub>III</sub>, M, N, ...

### **Очевидни следствия:**

При дадено  $E_\gamma$  (моноенергетични  $\gamma$ -кванти) в следствие на фотоефекта се получават **моноенергетични електрони**.

Фотоефекта е **невъзможен**, когато  $E_\gamma < E_i$ . Доколкото

$$E_K > E_{L_I} > E_{L_{II}} > E_{L_{III}} > E_M > E_N ,$$

то при намаляване на енергията на  $\gamma$ -кванта, първо се "изключва" K-слоя, после L-слоя и т.н.

### **Неочевиден факт:**

Фотоефекта е възможен само за свързани електрони. Релативистка енергия:

за  $\gamma$ -кванта -  $E_\gamma$  ;

за електрона  $[(m_e c^2)/(\sqrt{1 - \beta^2})] - m_e c^2$

Релативистки импулс:

за  $\gamma$ -кванта -  $E_\gamma/c$ ;

за електрона -  $(m_e \beta c)/(\sqrt{1 - \beta^2})$

$$E_\gamma = E_e ; \quad E_\gamma = m_e c^2 \left[ \frac{1}{\sqrt{1 - \beta^2}} - 1 \right]$$

$$P_\gamma = P_e ; \quad \frac{E_\gamma}{c} = \frac{m_e \beta c}{\sqrt{1 - \beta^2}}$$

съвместно полагаме:

$$\frac{1}{\sqrt{1 - \beta^2}} - 1 = \frac{\beta}{\sqrt{1 - \beta^2}}$$

т.е.  $1 - \beta^2 = (1 - \beta)^2$  което е изпълнено за:

$$\beta = V_e/c = 0 \text{ - тривиално - } E_\gamma = E_e = 0$$

$$\beta = V_e/c = 1 , \text{ т.е. } V_e = c \text{ - невъзможно}$$

т.е. необходим е атом за поемане част от импулса на  $\gamma$ -кванта. Процесът  $\gamma + e \rightarrow e$  е забранен в празно пространство.

## Б. Сечение за фотоефект

Сечението за фотоефект за K-слоя (като се пренебрегне енергията на връзка за K-слоя) е получено от Хайтлер (квантова електродинамика):

$$\sigma_{\phi(K)} = \frac{8}{3} \pi r_e^2 Z^5 \alpha^4 2^{5/2} \left( \frac{m_e c^2}{h\nu} \right)^{7/2} [\text{cm}^2/\text{at}]$$

където:

$$r_e = \frac{e^2}{m_e c^2} = 2.8 \cdot 10^{-13} \text{ cm}$$

- класически радиус на електрона ;

$$\alpha = \frac{2\pi e^2}{hc} = \frac{1}{137}$$

- константа на електромагнитното взаимодействие ;

$m_e c^2 = 511 \text{ keV}$  - енергия на покой на електрона ;  $h\nu$  - енергия на  $\gamma$ -кванта.

Да се запомни:

$$\sigma_{\phi(K)} \sim \frac{Z^5}{E_\gamma} \text{ за } E_\gamma \gg 511 \text{ keV}$$

$$\sigma_{\phi(K)} \sim \frac{Z^5}{E_\gamma^{7/2}} \text{ за } E_\gamma \text{ малко, но } E_\gamma > E_K$$

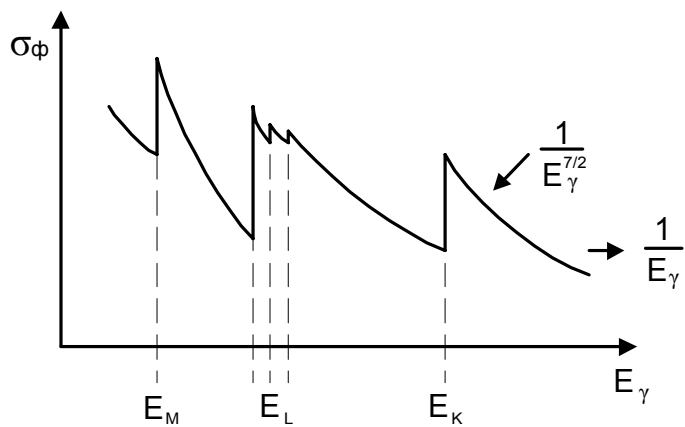
За малки енергии на  $\gamma$ -кванта - в областта на **енергии на връзка** - има особености на сечението.

**Изводи:**

Вероятността за фотоефект твърде силно зависи от атомния номер  $Z$  - като  $Z^5$ .

**Гама-спектрометрията** се базира на регистрация на  $\gamma$ -кванти чрез фотоефект -

регистрира се енергията на фотоелектроните. Работното вещество на  $\gamma$ -детектора трябва да има голямо  $Z$  (и голяма вероятност за фотоэффект).



Фиг.7. Поведение на сечението за фотоэффект в зависимост от енергията на  $\gamma$ -квантите.

**Ефективен атомен номер  $Z_{\text{eff}}$  (за фотоэффект):** За вещества с различни елементи:

$$Z_{\text{eff}} = \sqrt[5]{\sum_i a_i Z_i^5}$$

където  $a_i$  - относителното тегловно съдържание в молекулата на  $i$ -тия елемент.

За  $\text{NaI}$ : молекулно тегло - 150 ;  $\text{Na}$  - 23 ;  $\text{I}$  - 127 ;  $Z(\text{Na}) = 11$  ;  $Z(\text{I}) = 53$  ;  $Z_{\text{eff}} = 51,3$ .

В  $\text{NaI}$  йода ( $\text{I}$ ) играе основна роля за фотоэффекта и регистриране на  $\gamma$ -квантите.

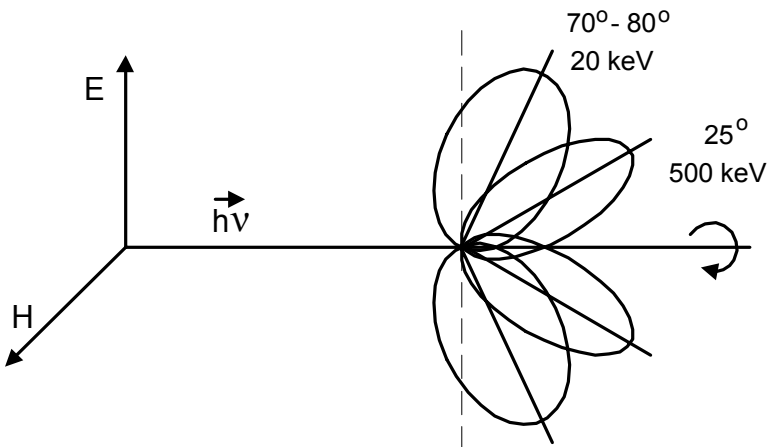
При  $E_\gamma > E_K$  и нагоре **вероятността за фотоэффект е най-голяма за най-силно свързаните електрони.** Показва се, че:

$$\sigma_{\phi(M)} : \sigma_{\phi(L)} : \sigma_{\phi(K)} = 1 : 5 : 20$$

## B. Ъглово разпределение на фотоелектроните

В Мухин е приведена точна формула за диференциалното сечение на фотоэффекта (зависимост на интензитета на фотоелектроните от ъгъла спрямо първичния  $\gamma$ -квант).

За неполяризиран сноп  $\gamma$ -кванти картина е аксиално симетрична относно посоката на  $\gamma$ -кванта. При нарастване на енергията диаграмата на насоченост се изтегля напред - към малки ъгли между импулса на photoелектрона и посоката на  $\gamma$ -кванта.



Фиг.8. Ъглово разпределение на photoелектроните.

#### Г. Атомни ефекти, които следват след photoэффекта

##### a/. Характеристично рентгеново лъчение (рентгенова флуоресценция)

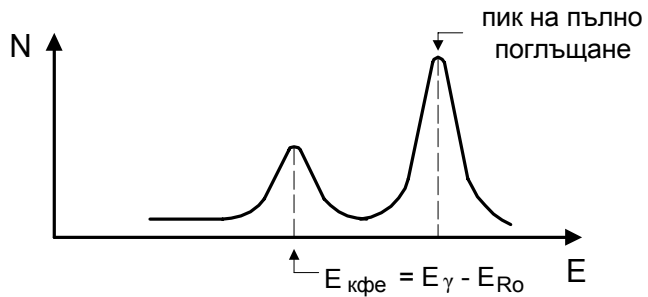
Атом с ваканция в **K**-слоя е високовъзбуден. Ваканцията се запълва с електрон от по-високи слоеве, като при атомните преходи се излъчват рентгенови кванти, чиято енергия зависи само от **разликата в енергиите на връзка на съответните слоеве** - характерна за дадения елемент: **KL<sub>I</sub>, KL<sub>II</sub>, KL<sub>III</sub>, KM** и т.н. - набор.

Като правило рентгеновото лъчение (ниски енергии - десетки keV) се погъща в работното вещество на детектора. Ако работното вещество на детектора е много тънко, има вероятност характеристичното рентгеново лъчение да напусне детектора и да се появят пикове на излитане (искейп пикове).

пик на пълно погъщане:  $E_\gamma = E_{\text{к.фе}} + E_{Ro}$

пик на излитане на Ro:  $E_{\text{к.фе}} = E_\gamma - E_{Ro}$

Този ефект се забелязва при газовите пропорционални детектори и тънки кристали **NaI**, например с дебелина  $d = 0,2 \text{ mm}$ .



Фиг.9. Поява на сателитен пик след фотоэффект.

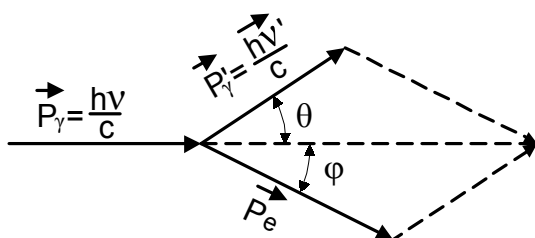
#### б/. Оже-ефект (конкурира рентгеновата флуоресценция)

При запълване на **K**-ваканция например от **L<sub>II</sub>**-слоя, енергията се предава на електрон от **L<sub>III</sub>**-слоя (в **L** слоя се появяват две ваканции) - **KL<sub>II</sub>L<sub>III</sub>**. **Основната група Оже-електрони - KLL**. Енергията им е характерна за елемента. Тъй като Оже-електроните са с твърде ниски енергии (поглъщат се много силно), те не могат да обуславят пикове на излитане в  $\gamma$ -спектроскопията. Но Оже-лините се виждат добре при нискоенергетичната  $\beta$ -спектроскопия и трябва да се отличават от конверсионните линии.

### III. РАЗСЕЙВАНЕ НА ГАМА-КВАНТИ. ЕФЕКТ НА КОМПТОН

Ефекта на Комптон е пъргаво разсейване на  $\gamma$ -кванти върху електрони. В този случай можем да разглеждаме електроните като свободни. Процеса  $\gamma + e \rightarrow e + \gamma'$  е разрешен във всички случаи.

#### А. Енергия на разсияния $\gamma$ -квант - зависи от ъгъла на разсейване.



Фиг.10. Към извода на енергетичните зависимости на комптоновия ефект.

От закона за запазване на енергията (свободен електрон):

$$hv = hv' + T_e = hv' + m_e c^2 \left( \frac{1}{\sqrt{1-\beta^2}} - 1 \right)$$

$$m_e c^2 \left( \frac{1}{\sqrt{1-\beta^2}} - 1 \right)$$

- кинетична релативистка енергия на електрона

**Съхранение на импулса:**

$$\frac{\vec{hv}}{c} = \frac{\vec{hv}'}{c} + \frac{\vec{m_e \beta c}}{\sqrt{1-\beta^2}}$$

$$\frac{m_e \beta c}{\sqrt{1-\beta^2}}$$

- релативистки импулс на електрона

В скаларна форма:

$$\frac{m_e^2 c^4 \beta^2}{1-\beta^2} = (hv)^2 + (hv')^2 - 2hv hv' \cos \theta$$

(правило на триъгълника)

Съвместното използване на двете уравнения позволява намирането на следната връзка:

$$\frac{1}{hv'} - \frac{1}{hv} = \frac{1}{m_e c^2} (1 - \cos \theta)$$

след умножаване по **c**:

$$\frac{c}{v'} - \frac{c}{v} = \frac{h}{m_e c} (1 - \cos \theta)$$

$$\Delta \lambda = \lambda' - \lambda = \frac{h}{m_e c} (1 - \cos \theta)$$

$\Delta \lambda$  - разлика в дълчините на вълните на падащия и разсеяния  $\gamma$ -квант (не зависи от  $\lambda$ );

$$h/m_e c = 2,4 \cdot 10^{-10} \text{ см} - \text{комптонова дължина на вълната на електрона}$$

**Енергия на разсенияя  $\gamma$ -квант:**

$$E_{\gamma'} = h\nu' = \frac{h\nu}{1 + \frac{h\nu}{m_e c^2} (1 - \cos \theta)}$$

$$E_{\text{k.e.}} = h\nu - h\nu' = \frac{h\nu \varepsilon (1 - \cos \theta)}{1 + \varepsilon (1 - \cos \theta)} ; \quad \varepsilon = \frac{h\nu}{m_e c^2}$$

За случая  $\theta = 0$  ;

$$h\nu = h\nu' - \text{няма разсейване} - E_{\text{k.e.}} = 0$$

За случая  $\theta = \pi$  ;

$$h\nu' = \frac{h\nu}{1 + \frac{2h\nu}{m_e c}} ; \quad E_{\text{k.e.}}^{\max} = \frac{2h\nu \varepsilon}{1 + 2\varepsilon}$$

От връзката

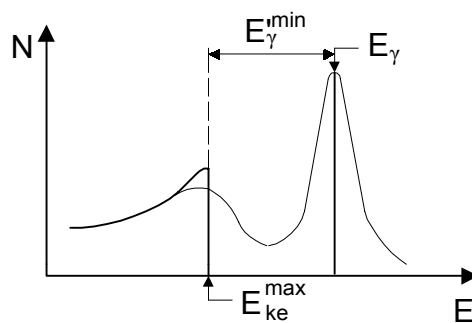
$$\cot \varphi = (1 + \varepsilon) \tan \frac{\theta}{2}$$

$$0 \leq \theta \leq \pi ; \quad h\nu \geq E_{\gamma'} \geq \frac{h\nu}{1 + 2\varepsilon} = E_{\gamma'}^{\min}$$

$$0 \leq \varphi \leq \frac{\pi}{2} ; \quad 0 \leq E_{\text{k.e.}} \leq \frac{2h\nu \varepsilon}{1 + 2\varepsilon} = E_{\text{k.e.}}^{\max} < E_{\gamma}$$

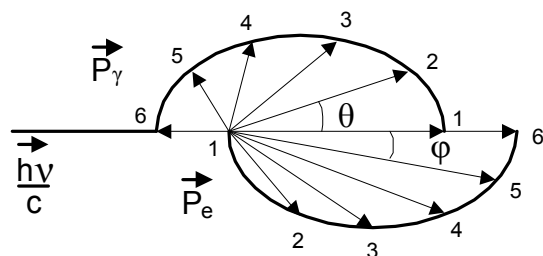
Във връзка с **детектирането** на  $\gamma$ -кванти нас живо ни интересува съдбата на комптоновите електрони, защото с голяма вероятност се осъществява Комптонов ефект на първичния  $\gamma$ -квант в работния обем на детектора, при което разсенияя  $\gamma$ -квант напуска детектора, а комптоновия електрон отдава цялата си енергия в детектора. За всяка линия имаме **пик на пълно поглъщане  $E_{\gamma}$**  (фотоефект) и **непрекъснато разпределение** на комптоновите електрони

$$0 \leq E_{\text{k.e.}} \leq E_{\text{k.e.}}^{\max} = \frac{2h\nu \varepsilon}{1 + 2\varepsilon}$$



Фиг.11. Непрекъснато комптоново разпределение в спектъра на единична  $\gamma$ -линия

Разпределението е непрекъснато, тъй като са възможни ъгли на разсейване  $0 \leq \theta \leq \pi$ . Комптоновия ръб съответства на **обратно разсейване**, т.е.  $\theta \approx \pi$  и на **максимална** възможна енергия (и импулс) на комптоновия електрон  $E_{k.e.}^{max} = 2\epsilon h\nu / (1 + 2\epsilon)$  и **минимална** енергия (и импулс) на вторичния  $\gamma$ -квант. Въобще е в сила импулсната диаграма:



Фиг.12. Импулсна диаграма на комптоновия ефект при различни ъгли на разсейване.

$$1. E_{\gamma'} = h\nu' = h\nu$$

$$6. E_{\gamma'} = \frac{h\nu}{1 + 2\epsilon}$$

$$1. E_{k.e.} = 0$$

$$6. E_{k.e.}^{max} = \frac{2h\nu\epsilon}{1 + 2\epsilon}$$

Импулса  $P_e$  е насочен в предната полусфера. При регистрация на разсияния  $\gamma'$  при точно определен ъгъл  $\theta$  относно първичния  $\gamma$ -квант  $\gamma$ , се получава точна енергия на  $\gamma'$ . В това ще се убедите в практикума.

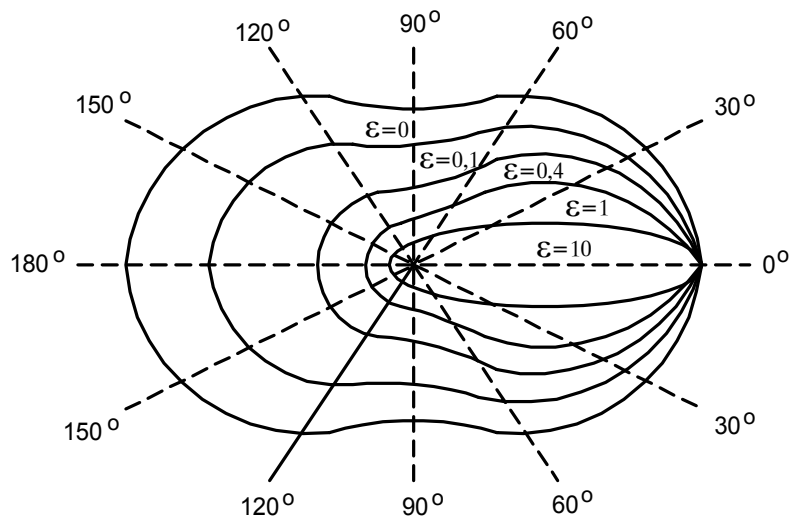
**Б. Диференциално сечение за комптоново разсейване.** Формула Клайн-Нишина-Там.

Интензитета на комптоново разсейните гама-квантни на ъгъл  $\theta$  в малък пространствен ъгъл  $d\Omega$  се дава с:

$$\frac{d\sigma(\theta)}{d\Omega} = r_e^2 \frac{1 + \cos^2 \theta}{2} \frac{1}{[1 + \varepsilon(1 - \cos \theta)]^2} \left\{ 1 + \frac{\varepsilon^2(1 - \cos \theta)^2}{(1 + \cos^2 \theta)[1 + \varepsilon(1 - \cos \theta)]} \right\}$$

където

$$r_e = \frac{e^2}{m_e c^2} = 2.8 \cdot 10^{-13} \text{ cm} ; \quad \varepsilon = \frac{h\nu}{m_e c^2}$$



Фиг.13. Поведение на диференциалното сечение за комптонов ефект в зависимост от ъгъла и енергията на първичния  $\gamma$ -квант (формула на Клайн-Нишина).

Качествено:

### За ниски енергии

$$\varepsilon = \frac{h\nu}{m_e c^2} \rightarrow 0$$

имаме чисто Томсоново разсейване, като

$$\frac{d\sigma(\theta)}{d\Omega} = r_e^2 \frac{1 + \cos^2\theta}{2}$$

Вероятностите за разсейване напред ( $\theta = 0^\circ$ ) и назад ( $\theta = 180^\circ$ ) са равни.

При по-големи енергии ( $\varepsilon \gg 1$ ) вероятността за обратно разсейване намалява - разпределението се изтегля по посока на падащия  $\gamma$ -квант. При **неполяризиран** първичен сноп имаме **осева симетрия** на диференциалното сечение.

### В. Пълно сечение за комптоново разсейване

Получава се като се интегрира диференциалното сечение по пълния пространствен ъгъл. Изразът е много сложен. Разглеждат се пределните случаи:

$$\varepsilon \ll 1: \sigma_K = \frac{8\pi}{3} r_e^2 (1 - 2\varepsilon)$$

$$\frac{8\pi}{3} r_e^2 = \sigma_\gamma = 0,66 \cdot 10^{-24} \text{ cm}^2/\text{електрон}$$

като сечението **линейно намалява с нарастване** на енергията  $h\nu$ .

$$\varepsilon \gg 1: \sigma_K = \pi r_e^2 \frac{1}{\varepsilon} \left( \frac{1}{2} + \ln 2\varepsilon \right)$$

т.е., сечението е обратно пропорционално на енергията.

Въобще за атом със  $Z$  електрона  $\sigma_K \sim Z/E_\gamma$  (сравнете с  $\sigma_\phi \sim Z^5/E_\gamma$ ). За леките елементи вероятността за Комптонов ефект е значително по-голяма, от тази за фотоефект.

## IV. РАЖДАНЕ НА ДВОЙКА ЕЛЕКТРОН ( $e^-$ ) ПОЗИТРОН ( $e^+$ )

### A. Енергетика

**a/.** Двойка ( $e^-, e^+$ ) може да се роди, само ако:

$$E_\gamma > 2m_e c^2 = 1,022 \text{ MeV}$$

**б/.** Процеса  $\gamma \rightarrow e^- + e^+$  е забранен в празно пространство. Двойките се раждат при взаимодействие на  $\gamma$ -кванта с **кулоновото поле на ядрото** (или на електрона - в този случай праговата енергия е  $4m_e c^2$  - процеса е малко вероятен). Действително, от запазването на енергията:

$$E_\gamma = \frac{m_{e^+} c^2}{\sqrt{1-\beta_{e^+}^2}} + \frac{m_{e^-} c^2}{\sqrt{1-\beta_{e^-}^2}}$$

сумата от пълните енергии на  $e^-$  и  $e^+$

$$P_\gamma = P_{e^-} + P_{e^+}$$

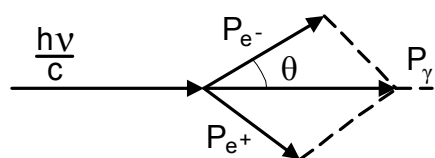
$$|P_\gamma| = \frac{E_\gamma}{c} = \frac{m_{e^+} c}{\sqrt{1-\beta_{e^+}^2}} + \frac{m_{e^-} c}{\sqrt{1-\beta_{e^-}^2}} > \frac{m_{e^+} \beta_{e^+} c^2}{\sqrt{1-\beta_{e^+}^2}} + \frac{m_{e^-} \beta_{e^-} c^2}{\sqrt{1-\beta_{e^-}^2}} = |P_{e^-}| + |P_{e^+}|$$

Тъй като  $V_{e^-}/c = \beta_{e^-} < 1$  и  $V_{e^+}/c = \beta_{e^+} < 1$

$$\text{т.е. } |P_\gamma| > |P_{e^-}| + |P_{e^+}|$$

Последното не е вярно, тъй като

$$|||P_{e^-}| - |P_{e^+}||| \leq |P_\gamma| \leq |P_{e^-}| + |P_{e^+}| \quad - \text{триъгълник}$$



Фиг.14. Импулсна диаграма на раждане двойка електрон – позитрон.

Очевидно, ядрото е необходимо за поемане на част от импулса. Енергията на откат на ядрото е нищожна (сравни същия проблем при фотоефекта) и спокойно може да бъде пренебрегната (ядрото е с твърде голяма маса).

$$h\nu = E_\gamma = T_{e^-} + T_{e^+} + 2m_e c^2$$

където  $T_{e^-}$  и  $T_{e^+}$  са съответно кинетичните енергии на електрона и позитрона.

Кинетиката на процеса е **3 частична** и енергията  $E_\gamma - 2m_e c^2$  се разпределя непрекъснато между електрона и позитрона, т.е.

$$0 < T_{e+} < E_\gamma - 2m_e c^2$$

За енергии, които ни интересуват в ядрената физика, обикновено  $\hbar v/m_e c^2 < 6$

С увеличаването на енергията  $\hbar\nu$  средния ъгъл  $\theta$  между  $P_{e-}$ ,  $P_{e+}$  и  $P_\gamma$  намалява. Разпределението по ъгли се изтегля по посока на падащия  $\gamma$ -квант, като  $\langle\theta\rangle \approx m_e c^2/E_+$ , където  $E_\pm$  е енергията на електрона (позитрона).

## **Б. Пълно сечение за раждане на двойки в полето на ядрото**

Въпроса не е решен окончателно - няма аналитични изрази за всички енергии.  
Приближен израз за тесен енергетичен интервал е:

$$\sigma_{\text{ДВ}} = \frac{Z^2}{137} r_e^2 \left( \frac{28}{9} \ln \frac{2E_\gamma}{m_e c^2} - \frac{218}{27} \right) [\text{cm}^2/\text{ат}]$$

$$\text{за } m_e c^2 \ll E_\gamma \ll 137 m_e c^2 Z^{-1/3}$$

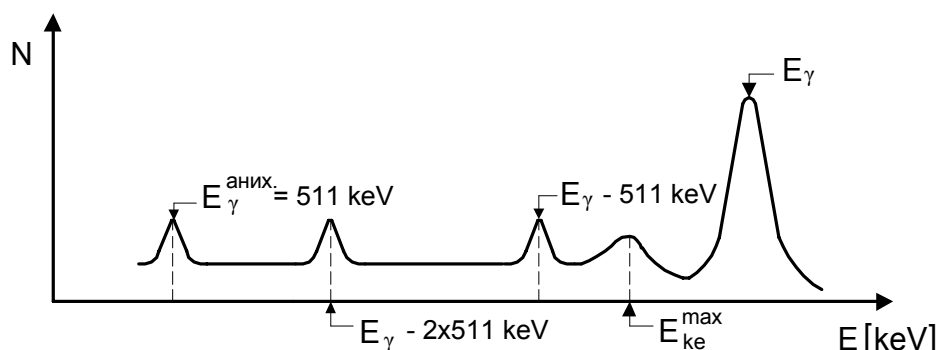
#### **В. Явления след рождане на двойка (в детектора)**

Електронът и позитронът губят кинетичната си енергия (йонизационни загуби) по един и същ начин. Но за позитронът в покой няма място в нашия свят. Позитронът анихилира с електрон:  $e^+ + e^- \rightarrow 2\gamma$  (възможна е и 3-фотонна анихилиация).  $E_\gamma^{\text{аних}} = 0,511 \text{ MeV}$ , така че  $E_\gamma = T_{e^+} + T_{e^-} + 2 \times 0,511 \text{ MeV}$ . Съществуват поне три възможности:

**a/.** И двата анихилационни  $\gamma$ -кванта се **поглъщат** (чрез фотоефект) в работното вещество на детектора - това води до пълно поглъщане на  $E_\gamma$  - регистрация на събитие в пика на пълно поглъщане.

**б/.** Единия анихилационен  $\gamma$ -квант **напуска** кристала, а другия се **поглъща**. Регистрира се събитие  $E_\gamma - 0,511 \text{ MeV}$  - **пик на единично излитане**.

**в/.** И двата  $\gamma$ -кванта (анихилационни) **напускат** работното вещество на детектора. Регистрира се събитие  $E_\gamma - 2 \times 0,511 \text{ MeV}$  - **пик на двойно излитане**. Освен това е възможно (когато  $E_\gamma > 2m_e c^2$ ) раждане на двойки в окръжаващото детектора вещество (защитата). Анихилиацията дава анихилационни  $\gamma$ -кванти, които попадат в детектора, поради това е възможна появата на пик с енергия 0,511 MeV. Между анихилационните  $\gamma$ -кванти съществува **абсолютна ъглова корелация**.

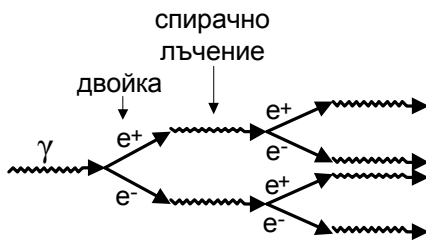


Фиг.15. Сателитни пикове в спектъра на единична  $\gamma$ -линия с енергия на  $\gamma$ -кванта по-голяма от 1022 keV.

#### Г. Порои от двойки. Детектори на порои.

Раждането на порой от електронно-позитронни двойки е възможно при  $\gamma$ -кванти със свръхвисоки енергии (физика на елементарните частици).

Гама-кванта ражда двойка ( $e^+, e^-$ ) с твърде висока енергия, които при забавянето си дават спирачно лъчение, което също може да роди двойки. Процеса на развитие на пороя затихва, когато енергията на спирачните фотони спада до  $2m_e c^2$ .



Фиг.16. Развитие на електромагнитен порой.

При достатъчно голям обем на детектора енергията на първичния  $\gamma$ -квант или електрон се погъща в работното вещество на детектора.

## V. ПЪЛЕН КОЕФИЦИЕНТ НА ПОГЛЪЩАНЕ НА ГАМА-КВАНТИ ВЪВ ВЕЩЕСТВОТО.

### A. Пълно сечение за поглъщане на $\gamma$ -кванти

$$\sigma_{\text{пълн}} = \sigma_{\phi} + \sigma_{\kappa} + \sigma_{\text{дв}}$$

(Процесите са независими и вероятностите се сумират.)

Законът за поглъщане на  $\gamma$ -квантите в зависимост от дебелината на слоя вещество е експоненциален:

$$I(d) = I_0 e^{-\mu d}$$

където:  $I(d)$  - интензитет на преминалото лъчение ;  $I_0$  - интензитет на падащото лъчение ;  $d$  - дебелина на слоя ;  $\mu$  - коефициент на поглъщане.  $\mu$  и  $d$  могат да се мерят в различни единици, но степенния показател трябва да е безразмерна величина - ефективна дебелина.

$\mu$	$\text{cm}^{-1}$	$\text{cm}^2/\text{g}$	$\text{cm}^2/\text{at}$
$d$	$\text{cm}$	$\text{d}/\text{cm}^2$	$\text{at}/\text{cm}^2$

В последния случай  $\mu$  е микросечението  $\sigma$  [ $\text{cm}^2/\text{at}$ ], като

$$\sigma_{\text{пълн}} = \sigma_{\phi} + \sigma_{\kappa} + \sigma_{\text{дв}}$$

Тогава:  $d \text{ [at/cm}^2\text{]} = (N_a/M_{\text{мол}}) \text{ [at/g]. } \rho \text{ [g/cm}^3\text{]. } d \text{ [cm]} = (N_a/M_{\text{мол}}) \cdot \rho \cdot d \text{ [at/cm}^2\text{]}$

В 1 g вещество:  $(N_a/M_{\text{мол}}) \text{ [at/g] ; } N_a = 6,0 \cdot 10^{23} \text{ [at/1g mol], } M_{\text{мол}} - \text{молекулно тегло, } N_a - \text{число на Авогадро.}$

Ефективна дебелина:

$$T_{\text{eff}} = \sigma_{\text{микро}} \text{ [cm}^2/\text{at]} (N_a/M_{\text{мол}}) \text{ [at/g]. } \rho \text{ [g/cm}^3\text{]. } d \text{ [cm]} = \sigma_{\text{макро}} \text{ [cm}^2/\text{g]. } d \text{ [g/cm}^2\text{]} = \\ = \text{линеен коефициент на отслабване } \mu \text{ [cm}^{-1}\text{]. } d \text{ [cm]}$$

В таблиците се срещат всички единици.

Ако веществото е сложна смес от елементи (сложна молекула), тогава:

$$T_{\text{eff}} = \sum_i T_{\text{effi}}$$

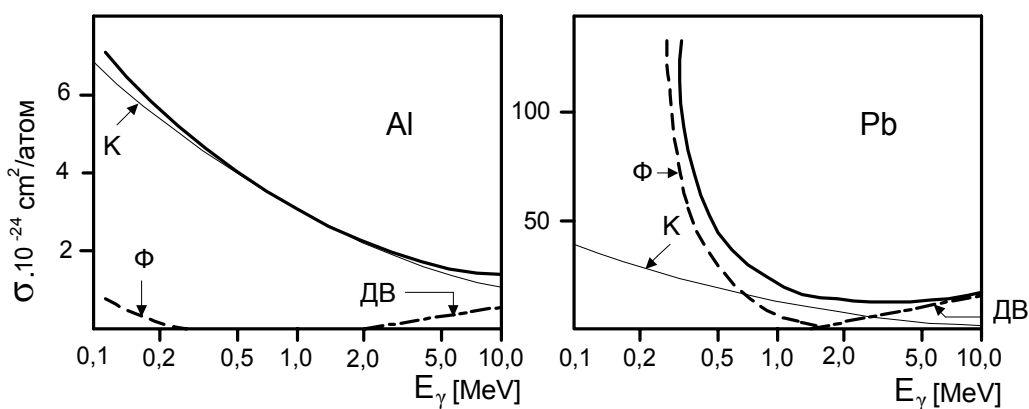
- сумата от ефективните дебелини за всеки елемент.

### Б. Ход на пълното сечение с енергията на $\gamma$ -кванта

Напомняме:  $\sigma_{\phi} \sim Z^5/E_{\gamma}^{7/2}$  - намалява

$\sigma_K \sim Z/E_{\gamma}$  - намалява

$\sigma_{\text{дв}} \sim Z^2 \ln 2 E_{\gamma}$  - след 1 MeV нараства



Фиг.17. Поведение на пълното сечение да взаимодействие на  $\gamma$ -кванти за Al и Pb.

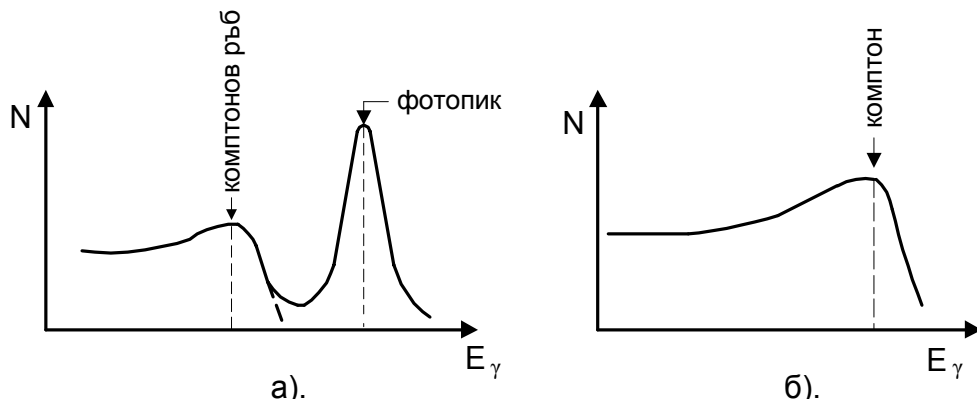
**а/.** Пълното сечение за взаимодействие с **нарастването** на  $E_\gamma$  до 2 - 5 MeV **намалява**, поради  $\sigma_\phi$  и  $\sigma_k$ , след това **нараства**, поради нарастването на  $\sigma_{dv}$ .

**б/.** За интересуващия ни диапазон ( $0,10 < E_\gamma < 2$  MeV) от енергии **съотношението** между сеченията  $\sigma_\phi$  и  $\sigma_k$  се различават драстично за леките и тежките елементи (виж **Al** и **Pb**).

за **леките** :  $\sigma_\phi/\sigma_k \ll 1$        $0,1 < E_\gamma < 5$  MeV

за **тежките**:  $\sigma_\phi/\sigma_k > 1$        $E_\gamma < 0,5$  MeV

Това се отразява на картината, когато спектрометрираме  $\gamma$ -кванти - например  $^{137}\text{Cs}$  -  $E_\gamma = 662$  keV



Фиг.18. Отклик на единична  $\gamma$ -линия на сцинтилационен детектор със сцинтилатор: а). NaI(Tl) ( $Z_{eff} \geq 50$ ) и б). стилбен (антрацен) ( $Z_{eff} \leq 6$ ).

При органичните сцинтилатори фотопика отсъствува практически напълно.

## VI. КОХЕРЕНТНО РАЗСЕЙВАНЕ НА ГАМА-КВАНТИ

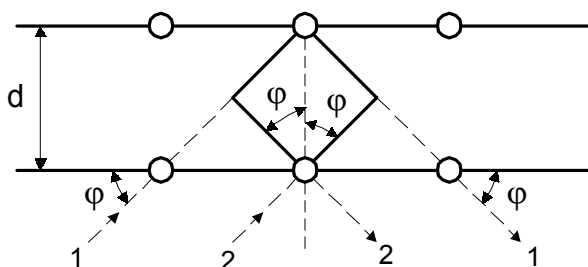
### А. Пределен случай на малки енергии $\epsilon = h\nu/m_e c^2 \ll 1$

Формулата на Клейн-Нишина-Там за диференциалното сечение за разсейване преминава във формулата на Томсон (Томсоново разсейване върху свободни електрони):

$$\frac{d\sigma(\theta)}{d\Omega} = r_e^2 \frac{1 + \cos^2\theta}{2}$$

[ $\text{cm}^2/\text{at}$ ] на 1 пространствен ъгъл

Ако се ограничим с разсейване напред (при много малки ъгли  $\theta$ ), **предадения импулс** на електрона (напречен) може да стане по-малък от импулса на свързания електрон. В такъв случай атома разсейва като цяло (пъргаво тяло), а ако е здраво свързан в кристалната решетка (безоткатно разсейване), то тя поема като цяло напречния импулс. Разсейването (Релеевско) се извършва без загуба на енергия на първичния  $\gamma$ -квант, като се запазва и фазата. Такова разсейване наричаме **кохерентно** и при него могат да се наблюдават интерференционни явления.



Фиг.19. Към извода на условието на Бряг-Булф при кохерентно разсейване на  $\gamma$ -квант. Разликата в хода на лъчите 1 и 2 е  $2ds\sin\phi$

Интерференционен максимум се наблюдава (условие Бряг-Булф):

$$n\lambda = 2ds\sin\phi$$

За  $n = 1$  - интерференционен максимум от първи порядък. Явлението е аналогично с дифракцията на рентгеновите лъчи.

Спираме се върху това разсейване, тъй като върху него се базира кристал-дифракционната  $\gamma$ -спектрометрия, с която (при много висока разделителна способност) се определят по **абсолютен начин** енергиите  $E_\gamma$  (по-точно  $\lambda$ ).

$$1 \text{ eV} = 12,3977 \cdot 10^{-5} \text{ cm} ; \text{ константата } \lambda E = 1,2 \cdot 10^{-7} \text{ keV.cm}$$

Измерва се точно ъгъла  $\Phi$  (на първия интерференъчен максимум) и е известно точно  $d$  - междуплоскостните разстояния в кристалната решетка. Оптимално условие е, когато  $\lambda_\gamma \approx d$ . При:

$$d \approx R_{at} \approx 10^{-8} \text{ cm} \text{ и } \lambda \approx d \approx 10^{-8} \text{ cm} ; E_\gamma \approx 10 \text{ keV}$$

т.е. метода на кохерентното разсейване (кристал-дифракционния) работи добре при ниски енергии. При  $\lambda \ll d$  трябва да се работи при много малки ъгли.

### **Б. Диференциално сечение за кохерентно разсейване**

$$\frac{d\sigma(\theta)}{d\Omega} = r_e^2 \frac{1 + \cos^2\theta}{2} |F(q, Z)|^2$$

където  $F(q, Z)$  - атомен формфактор, който дава вероятността за разсейване при предаване на импулс  $q$  на  $Z$  електрони на атома без поглъщане на енергията. Този формфактор  $F \ll 1$  за големи ъгли на разсейване (освен при разсейване напред) и намалява с увеличаване на енергията  $E_\gamma$  на падащия  $\gamma$ -квант.

Релеевски разсечните  $\gamma$ -кванти (безоткатно) интерфеират с ядреното резонансно поглъщане и разсейване на  $\gamma$ -квантите.